

## 0.1 Вычисление поля для однородного потока

Решаем уравнение:

$$\begin{aligned} \tilde{\varphi}(x_2, y_2, k_z, \omega) = & \frac{\exp(-ik_z z_1)}{4\pi^2} G(x_2 - x_1, y_2 - y_1) + \\ & + \iint_{\Omega} \left[ \frac{\omega^2}{c^2} - \left( \frac{\omega}{c} - M(x, y)k_z \right)^2 \right] \tilde{\varphi}(x, y, k_z, \omega) G(x_2 - x, y_2 - y) dx dy, \end{aligned} \quad (1)$$

где  $\Omega$  - область, в которой поток имеет ненулевую скорость (вне  $\Omega$  ядро уравнения нулевое),  $x_2$  и  $y_2$  - координаты микрофона,  $x_1$  и  $y_1$  - координаты источника.

Решаем итерационным способом:

$$\begin{aligned} \tilde{\varphi}_0(x_2, y_2) = & \frac{\exp(-ik_z z_1)}{4\pi^2} G(x_2 - x_1, y_2 - y_1) \\ \tilde{\varphi}_n(x_2, y_2, k_z, \omega) = & \frac{\exp(-ik_z z_1)}{4\pi^2} G(x_2 - x_1, y_2 - y_1) + \\ & + \iint_{\Omega} \left[ \frac{\omega^2}{c^2} - \left( \frac{\omega}{c} - M(x, y)k_z \right)^2 \right] \tilde{\varphi}_{n-1}(x, y, k_z, \omega) G(x_2 - x, y_2 - y) dx dy, \end{aligned} \quad (2)$$

### 0.1.1 Код

Расстояние от источника к приемнику, расстояния от каждой точки области  $\Omega$  до приемника:

```
|r2_min_r1 = sqrt((x_source-x_micro)^2 + (y_source-y_micro)^2) ; |  
|r_min_r2 = sqrt((X-x_micro).^2 + (Y-y_micro).^2) ; |
```

Для каждого  $k_z$  и каждой частоты.

Задал функцию Грина, доопределил в нуле, чтобы не было особенности:

```
|wave = -1i/4 * besselh(0, 1, k_xy *r_array) ; |  
|r_array = [0, r_array] ; |  
|wave = [0, wave] ; |
```

Функция Грина в области  $\Omega$ :

```
|G_xy_mat = interp1(r_array, wave, dist) ; |
```

Функция Грина от источника до приемника:

```
|G_r2r1 = interp1(r_array, wave, r2_min_r1) ;|
```

Функция Грина от каждой точки области  $\Omega$  до приемника:

```
|G_r2r = interp1(r_array, wave, r_min_r2) ;|
```

Задал ядро интегрального уравнения  $K$ ,

$$K(x, x_2, y, y_2) = \left[ \frac{\omega^2}{c^2} - \left( \frac{\omega}{c} - M(x, y)k_z \right)^2 \right] G(x_2 - x, y_2 - y) dx dy \quad (3)$$

```
|kernel = (- M.^2 * k_z^2 + 2 * M * k * k_z) * step^2 ; |  
|K = G_r2r .* kernel ;|
```

Задал начальное приближение для итерационной процедуры,

```
|f_x = exp(-1i *k_z *(z_micro - z_source)) * G_r2r1 ; |  
|y_nmin1 = f_x * ones(sz,1) ;|  
|y_n = y_nmin1 * 0 ;|
```

Делаю, пока относительная невязка следующего приближения с предыдущим не станет маленькой

```
|while (abs(nev) > 1e-2)|
```

Считаю следующее приближение. Сделал  $K$  матрицей, умножил его на предыдущее приближение:

```
|y_n = f_x + K * ones(1, sz) * y_nmin1 ;|
```

Посчитал невязку, в какой-то понятной мне форме:

```
|nev = sum(sqrt(y_nmin1.^2 - y_n.^2)) / sum(sqrt(y_nmin1.^2 + y_n.^2)) ;|
```

В следующий раз буду в интеграл подставлять функцию от  $x$  и  $y$ :

```
|y_nmin1 = y_n ;|
```

Из функции от  $x$  и  $y$  суммированием хочу получить функцию от  $x_2, y_2$ . Мне казалось, это аналогично интегрированию по  $x, y$ :

```
|y_n_num = sum(y_n) ;|
```

## 0.2 Для неоднородного потока

### 0.2.1 Уравнение

Конвективное волновое уравнение:

$$\frac{\partial^2 p}{\partial t^2} + 2U \nabla \left( \frac{\partial p}{\partial t} \right) + (U_z^2 - c^2) \nabla^2 p = 0, \quad (4)$$

Сделаем Фурье по времени, разделим на  $c^2$ , припишем правую часть:

$$-\frac{\omega^2}{c^2} p - \frac{2iM\omega}{c} p + (M^2 - 1) \nabla^2 p = \frac{1}{8\pi^3 c^2} \delta(x - x_1) \delta(y - y_1) \delta(z - z_1) \quad (5)$$

Влево перенесем однородное уравнение Гельмгольца, а вправо - все остальное:

$$\Delta p + \frac{\omega^2}{c^2} p = M^2 \Delta p - \frac{2iM\omega}{c} \nabla p - \frac{1}{8\pi^3 c^2} \delta(x - x_1) \delta(y - y_1) \delta(z - z_1) \quad (6)$$

Функция Грина в 3D:

$$G(\vec{r}) = \frac{1}{4\pi} \frac{e^{ik\|\vec{r}\|}}{\|\vec{r}\|}. \quad (7)$$

Запишем уравнение Липмана-Швингера для этого волнового уравнения:

$$\Delta p = \frac{e^{ik\|\vec{r} - \vec{r}_1\|}}{32\pi^4 c^2 \|\vec{r} - \vec{r}_1\|} + \iint_{\Omega} \left[ M^2 \Delta - \frac{2iM\omega}{c} \nabla \right] p(x, y, z, \omega) \frac{1}{4\pi} \frac{e^{ik\|\vec{r}_2 - \vec{r}\|}}{\|\vec{r}_2 - \vec{r}\|} d\vec{r} \quad (8)$$

### 0.2.2 Струя

Есть исходник *Mach.m*, он делает трехмерную картинку потока. Функция зависит от сеток  $x, y, z$ , скорости потока  $U$ , диаметра сопла  $d$ . Строится профиль скорости на основе модели, взятой из литературы по авиации. Наука мутная, все формулы в ней эмпирические.

Выбирается параметр турбулентности  $a$ , для не очень турбулентного потока (у нас такой) он равен  $a = 0.066 - 0.08$ . Раствор потока увеличивается линейно, угол раствора равен  $\beta$ ,  $\tan \beta = 3.4a$ . Радиус струи  $r_s = x \tan \beta$ , где  $x$  - ось, совпадающая с осью потока.

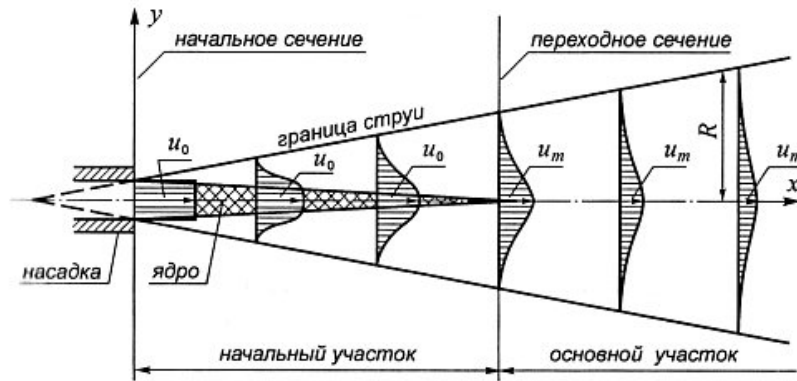


Рис. 1: Струя

Делится на два участка: начальный и основной. Начальный участок - участок после сопла, на котором у струи еще есть ламинарное ядро. На основном участке ламинарное ядро уже схлопнулось. Диаметр ядра равен диаметру сопла на начальном сечении и спадает до нуля на переходном сечении. Полус струи - точка, где пересекутся границы струи, если продолжить их за плоскость сопла. Полус струи находится с другой стороны от сопла, чем струя.

Расстояние от полуса струи до переходного участка:

$$x_{tr} = 0.96 * r_0 / a, \quad (9)$$

где  $r_0$  - радиус сопла, а  $a$  - показатель турбулентности.

От полуса струи до начального участка:

$$x_0 = 0.29 r_0 / a \quad (10)$$

Считается, что на начальном участке струи амплитуда на оси струи держится постоянной, а на основном спадает как

$$\frac{U}{U_0} = 0.96 \frac{r_0}{ax} \quad (11)$$

Если считать от начального сечения, будет:

$$\frac{U}{U_0} = \frac{0.48 d_0}{a + 0.145 d_0 / l} l, \quad (12)$$

где  $l$  - это расстояние от начального сечения. Это называется формула Абрамовича.

### 0.2.3 Код для решения уравнения

Сетку задал трехмерную,  $(x, y, z)$  на трехмерной сетке задал операции производной  $\nabla = \frac{\partial}{\partial x} + \frac{\partial}{\partial y} + \frac{\partial}{\partial z}$  и второй производной  $\Delta = \frac{\partial^2}{\partial x^2} + \frac{\partial^2}{\partial y^2} + \frac{\partial^2}{\partial z^2}$ . Матрицы проверял, ошибок не увидел.

Вычисляю матрицу для числа Маха в каждой точке. Поскольку надо будет потом умножить эту матрицу так, чтобы она давала веса в производных, делаю ее размерности  $N \times N$ , где  $N$  - количество точек.

```
Mxy = Mach(X, Y, Z, V, d, dz) ;  
Mxy_mat = repmat(Mxy.', cub, 1) ;
```

То, что дальше, делаю для каждой частоты. Вычислил матрицу, которая стоит в качестве ядра в уравнении Липпмана-Швингера. Также вычисляю начальное приближение в качестве свободного члена в уравнении.  $p_{ip1}$  - это следующий шаг в приближении, тут он просто инициализуется.

```
Matr = -2i*Mxy_mat*omega.*D_3d/c0 + Mxy_mat.^2.*D2_3d ;  
p_i = 1/32/pi^4*exp(1i*k*r1_min_r)./r1_min_r./(Mxy.^2 - 1) ;  
p_ip1 = X ;
```

Сделал конечное количество итераций, чтобы просто понять, работает или нет.

```
for i=1:8  
if (i>1) p_i = p_ip1 ; end ;  
    p_ip1 = 1/(4*pi)*sum(Matr * (p_i .* exp(1i*k*r2_min_r)./r2_min_r)...  
        *dx *dy *dz ) ;  
end
```

Ответ получается гигантский. Что делать - непонятно.